

Figura 268. Componente real de la J del rotor.  $f_e=50\text{Hz}$  -  $f_r=1\text{Hz}$  -  $s=0.60$ .  $p=20$ .

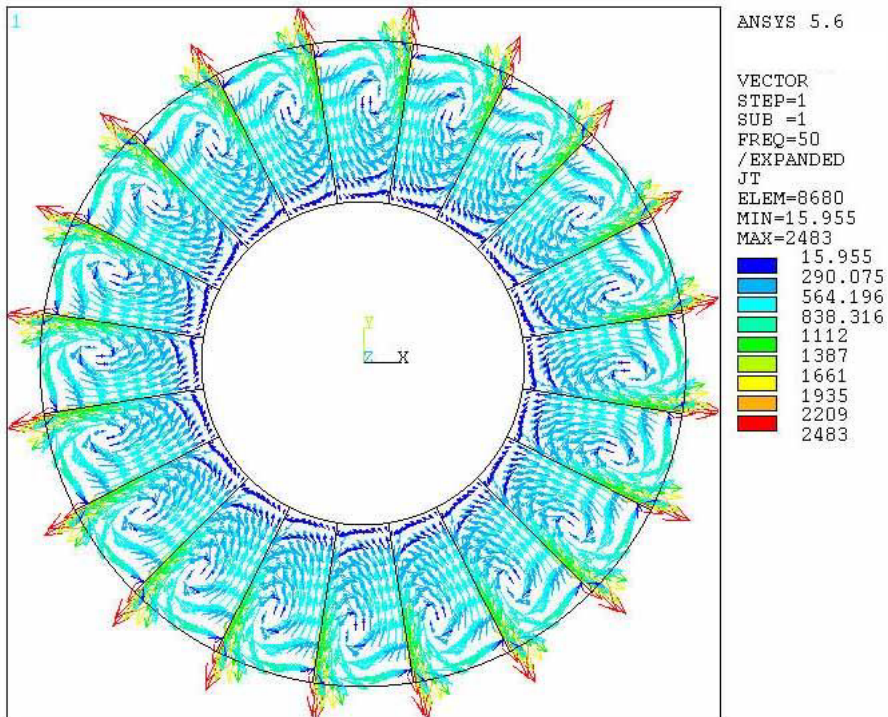


Figura 269. Componente imaginaria de la J del rotor.  $f_e=50\text{Hz}$  -  $f_r=1\text{Hz}$  -  $s=0.60$ .  $p=20$ .

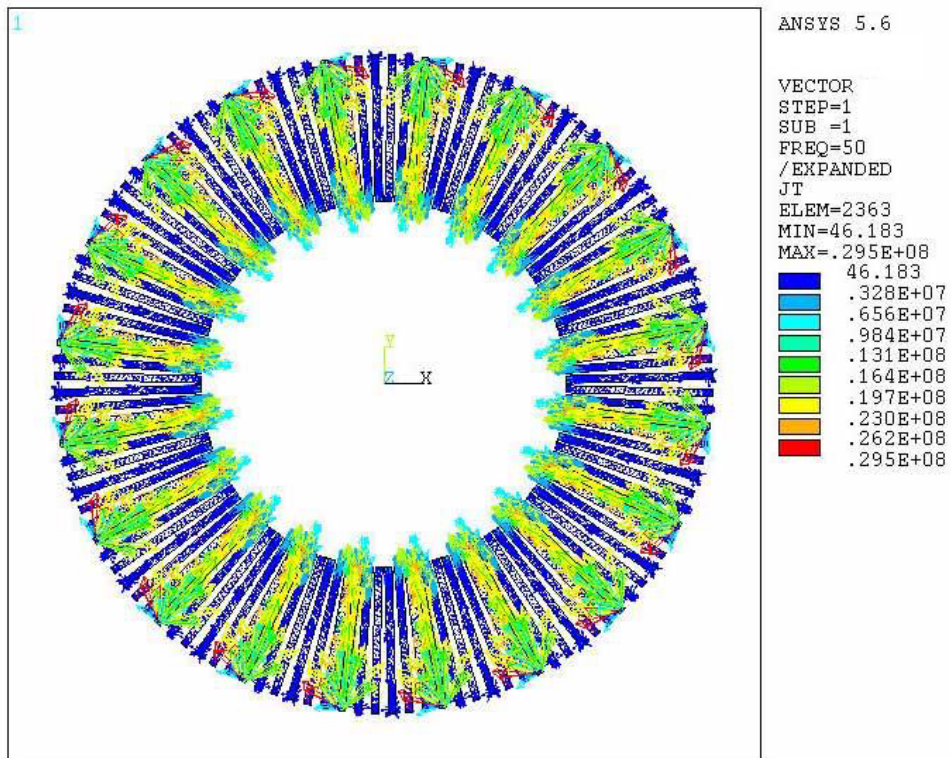


Figura 270. Componente real de las corrientes estáticas.  
 $f_e=50\text{Hz}$  -  $f_r=1\text{Hz}$  -  $s=0.60$ .  $p=20$ .

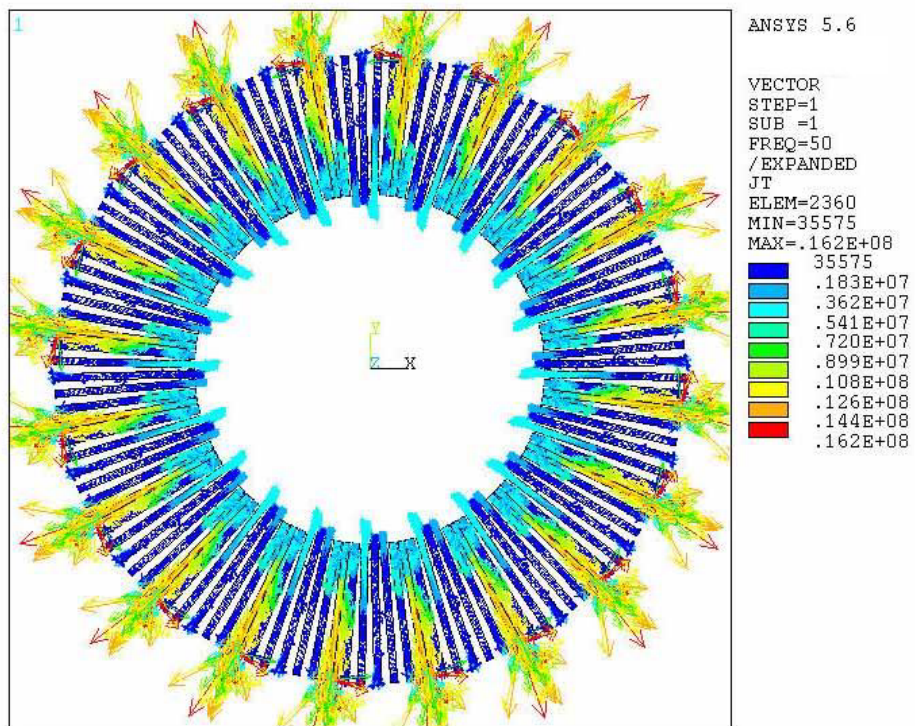


Figura 271. Componente imaginaria de las corrientes estáticas.  
 $f_e=50\text{Hz}$  -  $f_r=1\text{Hz}$  -  $s=0.60$ .  $p=20$ .

A.1.2.7.  $s=0.999$  -  $fr=0.0025\text{Hz}$ .

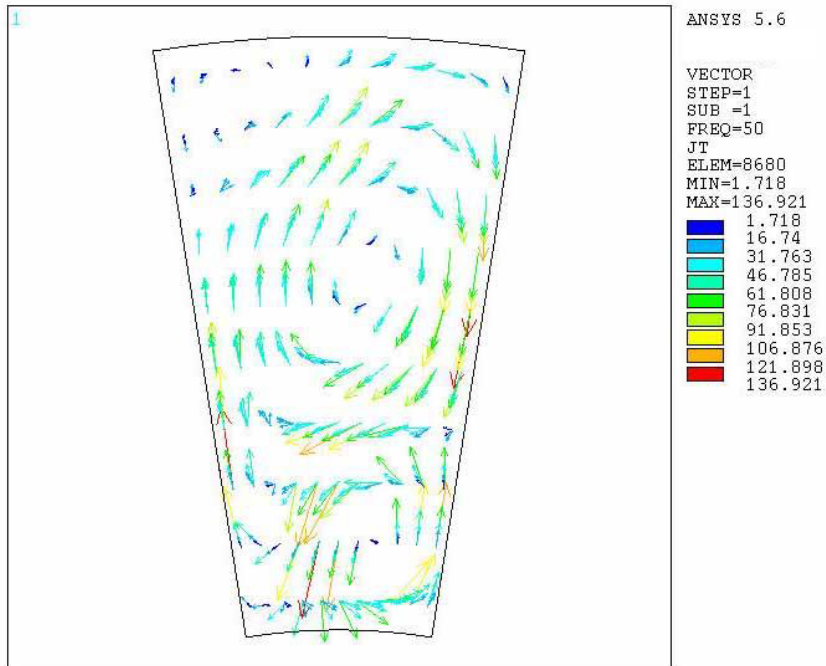


Figura 272. Componente real de la J del rotor.  $f_e=50\text{Hz}$  -  $f_r=0.0025\text{Hz}$  -  $s=0.999$ . Distribución por par de polos  $p=20$ .

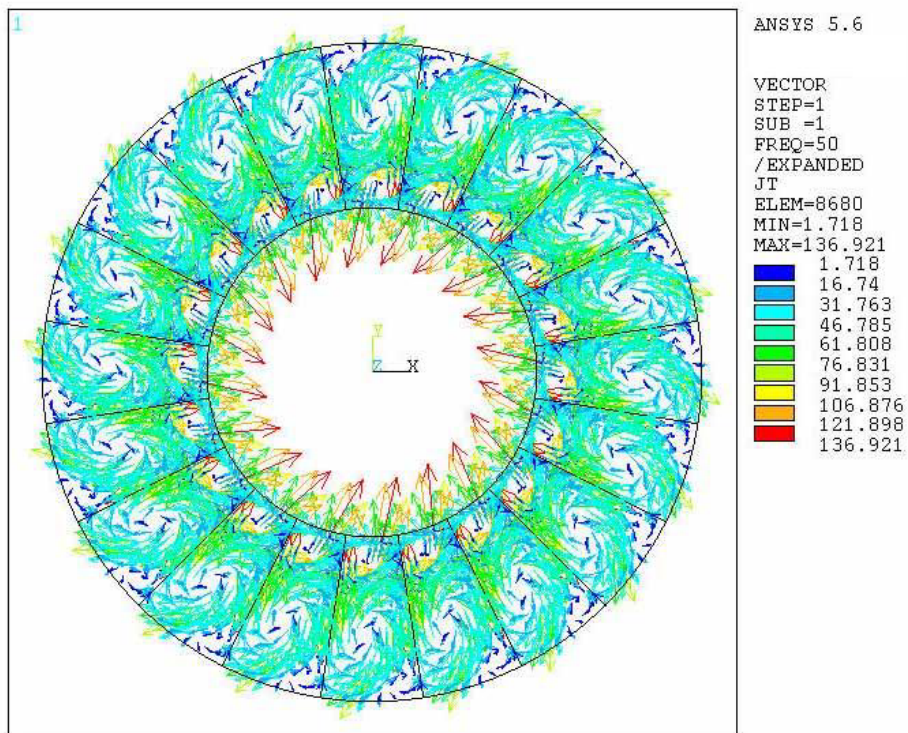


Figura 273. Componente real de la J del rotor.  $f_e=50\text{Hz}$  -  $f_r=0.0025\text{Hz}$  -  $s=0.999$ .  $p=20$ .

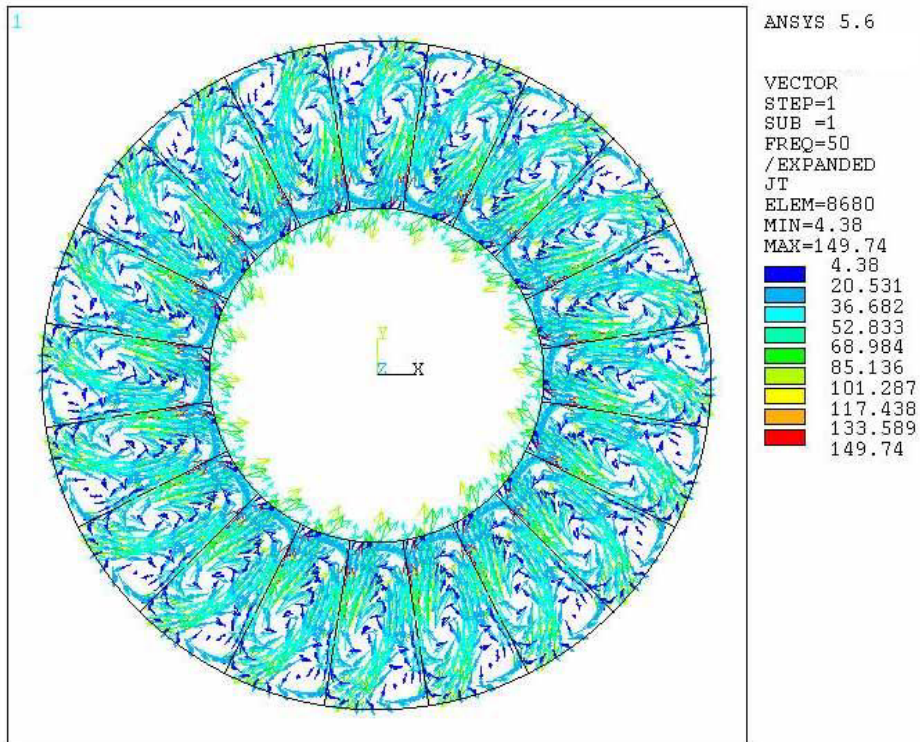


Figura 274. Componente imaginaria de la J del rotor.  $f_e=50\text{Hz}$  -  $f_r=0.0025\text{Hz}$  -  $s=0.999$ .  $p=20$ .

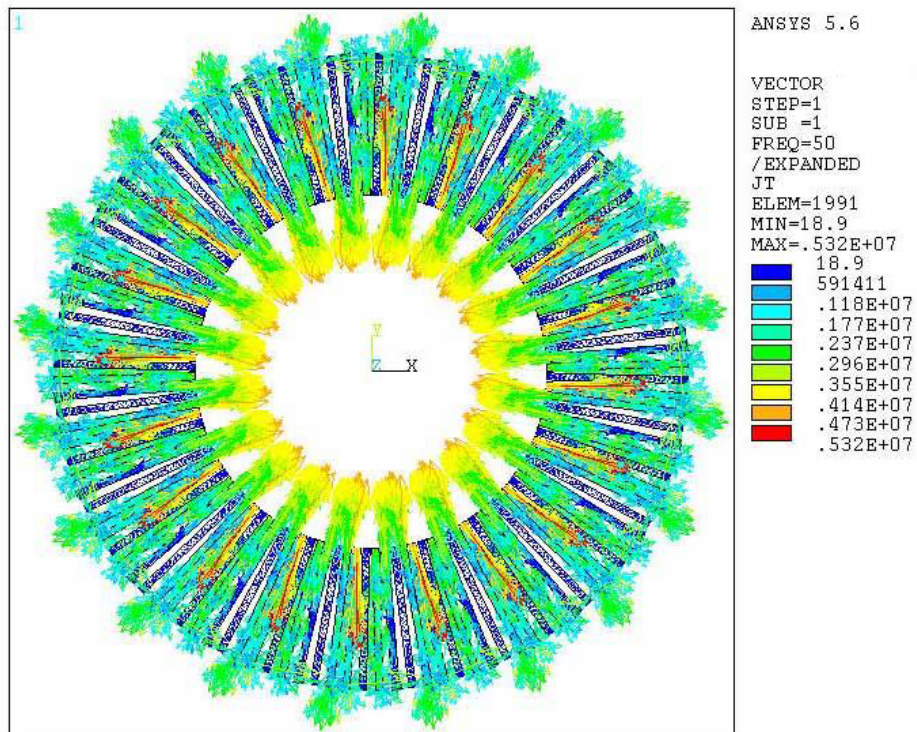


Figura 275. Componente real de las corrientes estáticas.  $f_e=50\text{Hz}$  -  $f_r=0.0025\text{Hz}$  -  $s=0.999$ .  $p=20$ .

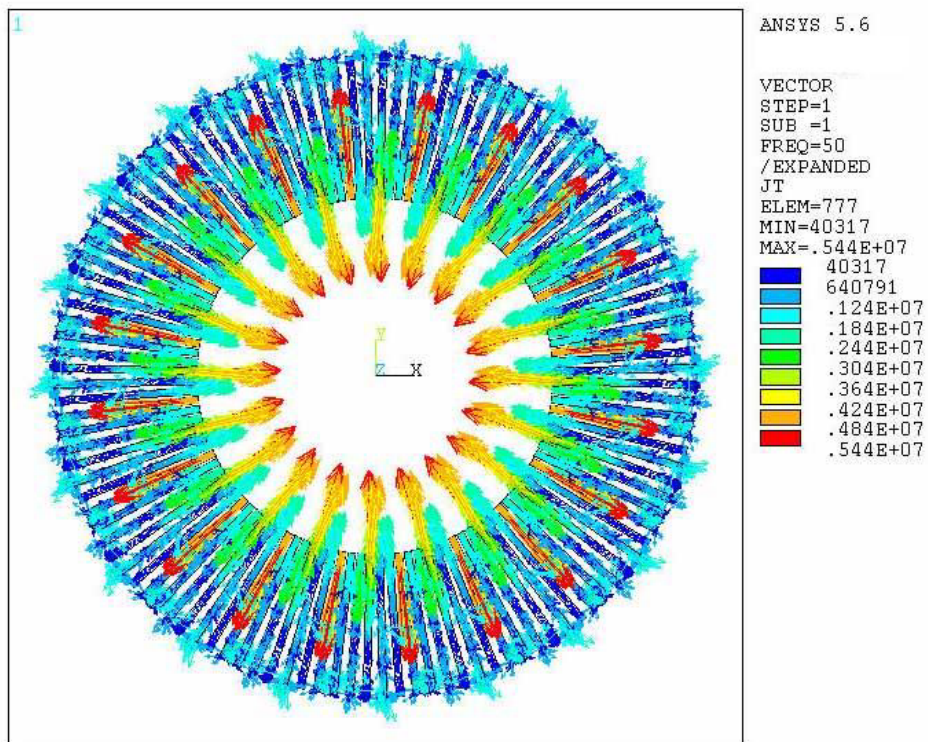


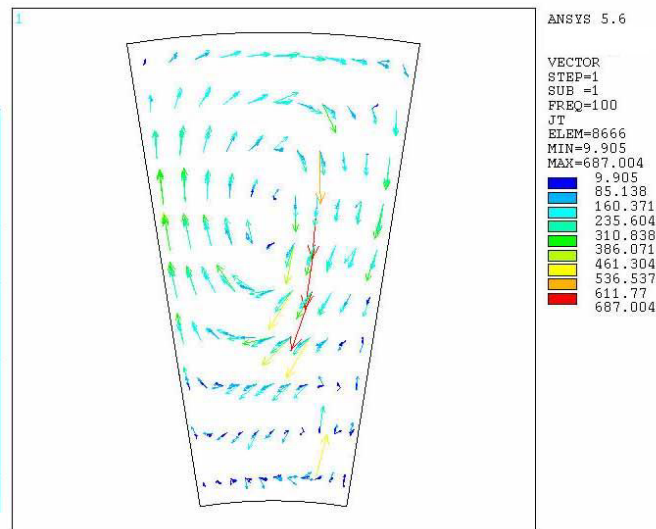
Figura 276. Componente imaginaria de las corrientes estáticas.  
 $f_e=50\text{Hz}$  -  $f_r=0.0025\text{Hz}$  -  $s=0.999$ .  $p=20$ .

**A.1.3. Comportamiento del motor a una fe de 100 Hz, al variar el deslizamiento de  $s=0.05$  hasta  $s=0.999$ .**

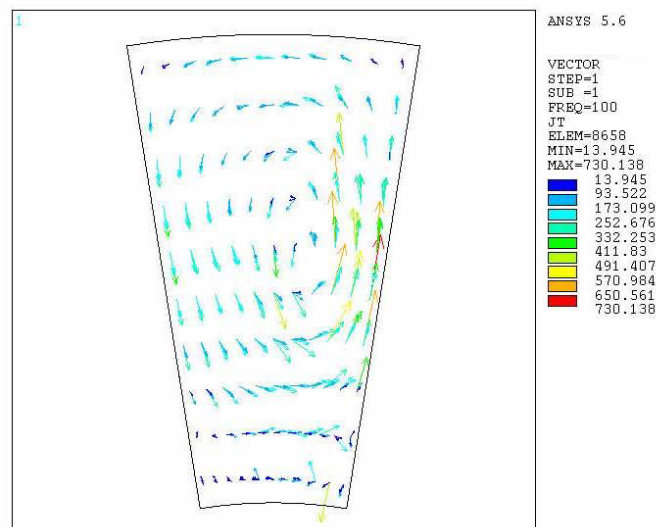
**A.1.3.1.  $s=0.05$  -  $f_r=4.75\text{Hz}$ .**

Ver A.1.1.2.

**A.1.3.2.  $s=0.20$  -  $f_r=4\text{Hz}$ .**



**Figura 277. Componente real de la J del rotor.  $f_e=100\text{Hz}$  -  $f_r=4\text{Hz}$  -  $s=0.20$ . Distribución por par de polos  $p=20$ .**



**Figura 278. Componente imaginaria de la J del rotor.  $f_e=100\text{Hz}$  -  $f_r=4\text{Hz}$  -  $s=0.20$ . Distribución por par de polos  $p=20$ .**

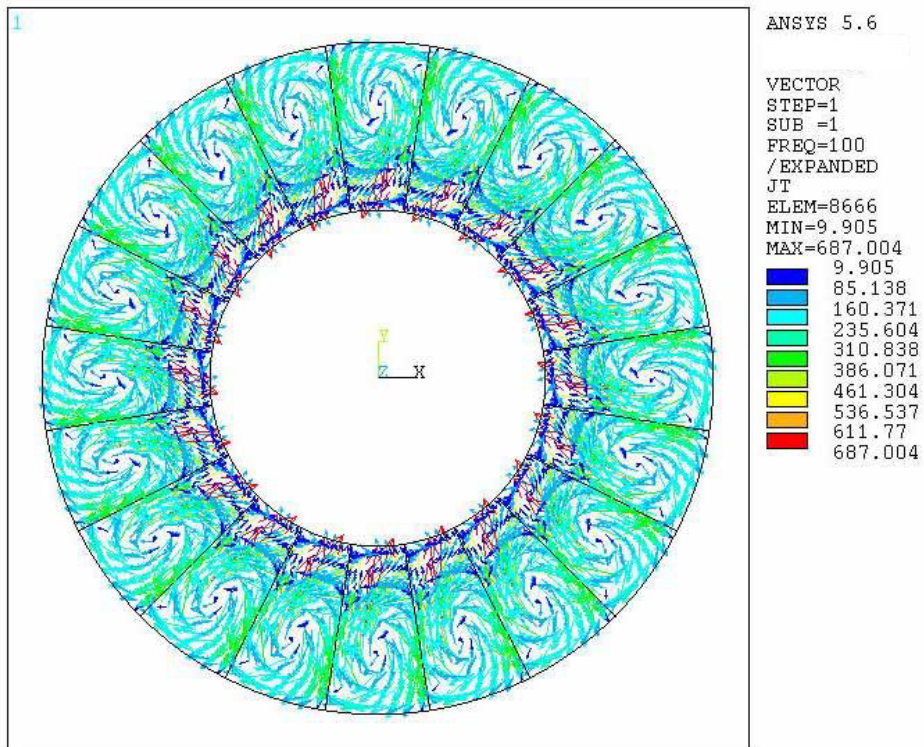


Figura 279. Componente real de la J del rotor.  $f_e=100\text{Hz}$  -  $f_r=4\text{Hz}$  -  $s=0.20$ .  $p=20$ .

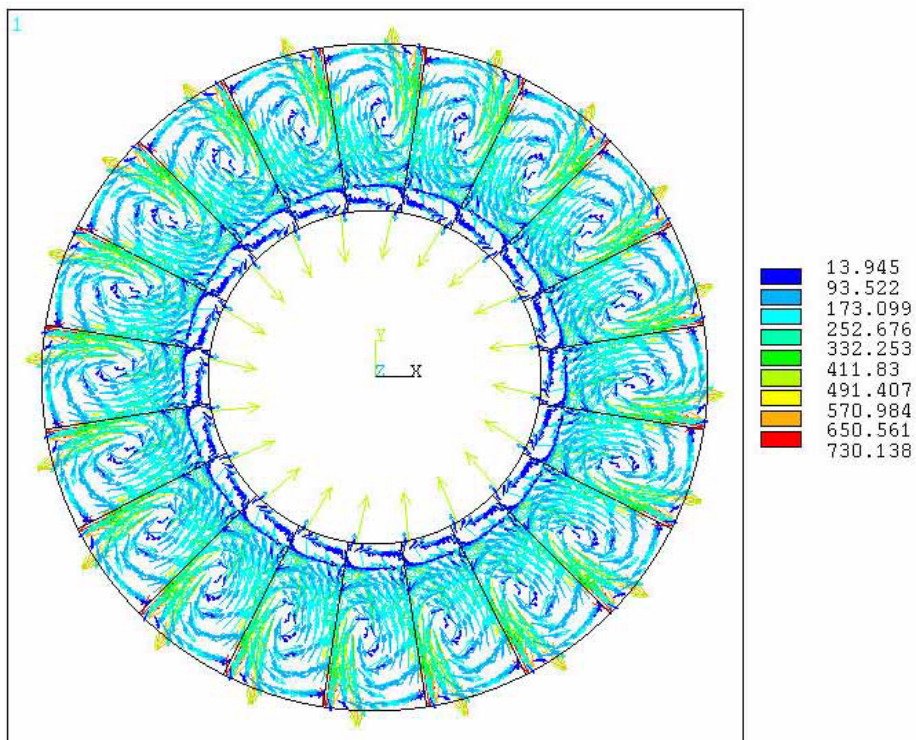


Figura 280. Componente imaginaria de la J del rotor.  $f_e=100\text{Hz}$  -  $f_r=4\text{Hz}$  -  $s=0.20$ .  $p=20$ .

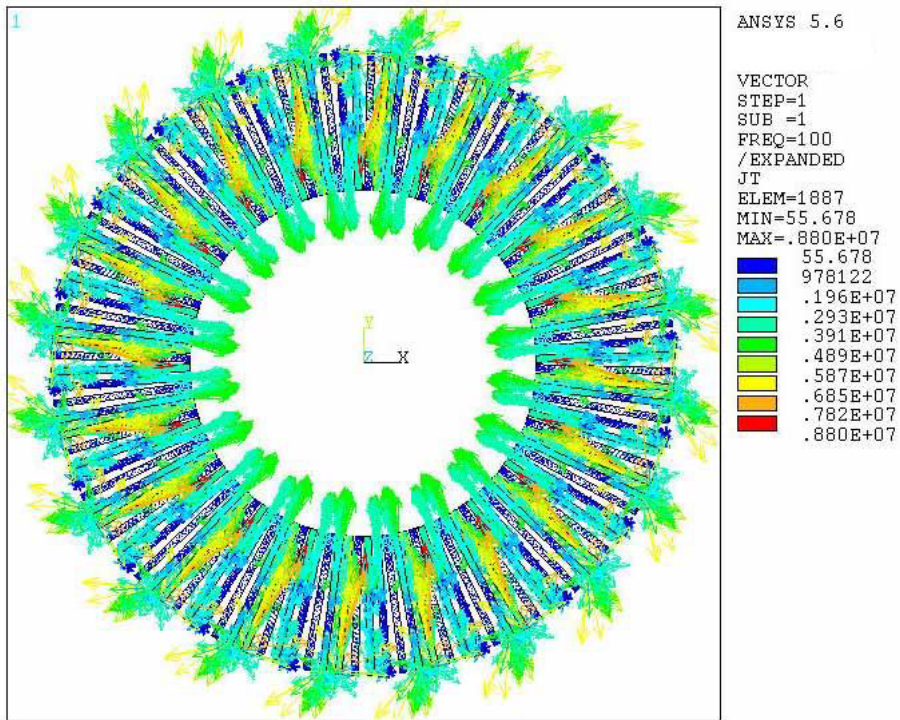


Figura 281. Componente real de las corrientes estáticas.  
 $f_e=100\text{Hz} - f_r=4\text{Hz} - s=0.20. p=20.$

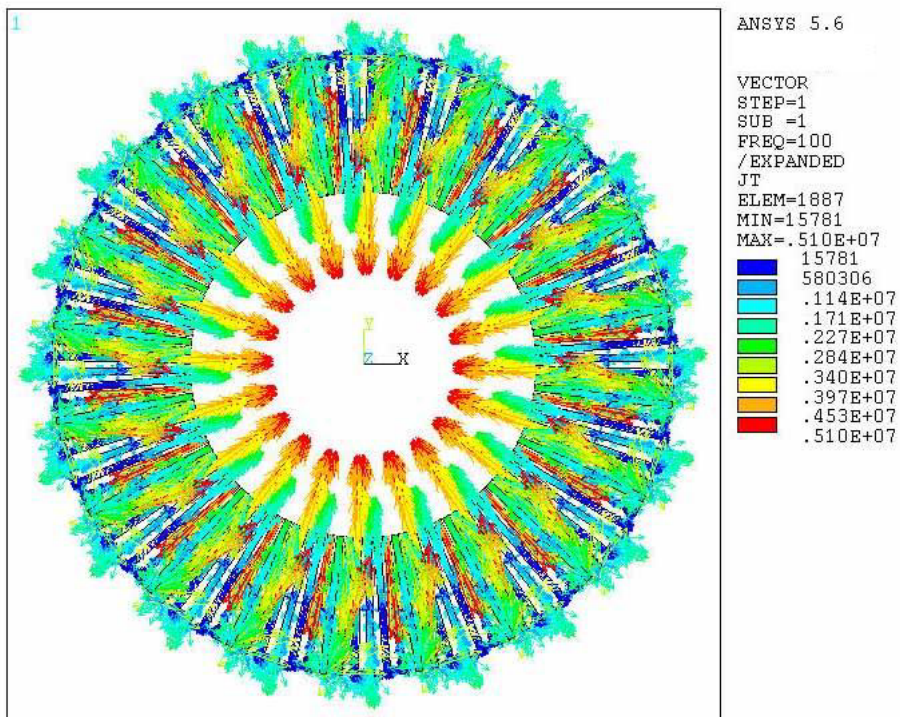


Figura 282. Componente imaginaria de las corrientes estáticas.  
 $f_e=100\text{Hz} - f_r=4\text{Hz} - s=0.20. p=20.$



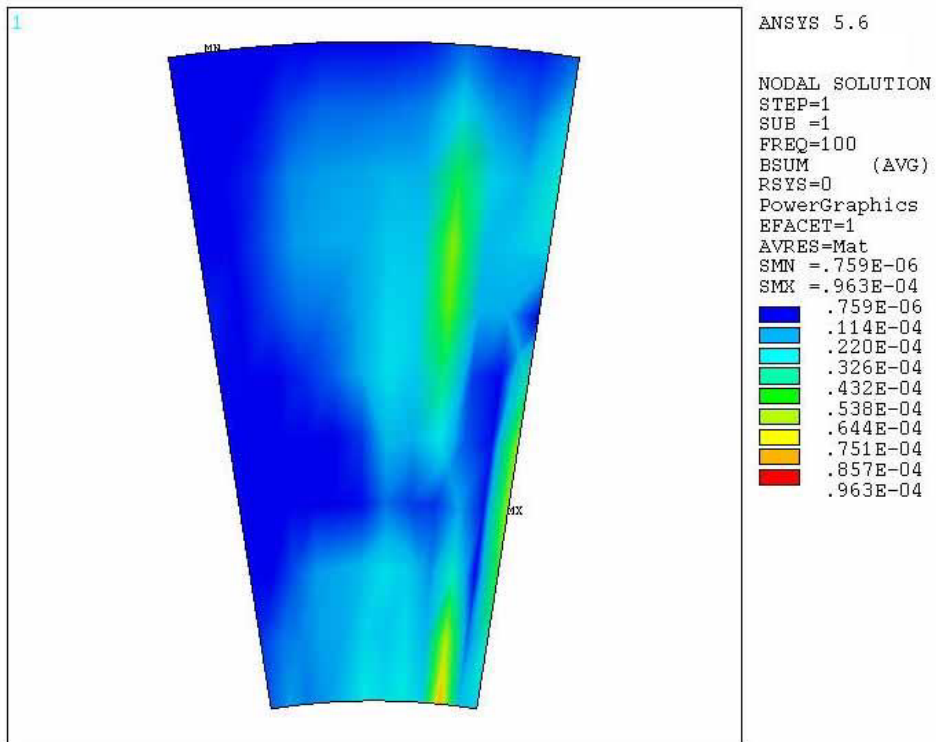


Figura 283. Componente real de la densidad de campo B.  
 $f_e=100\text{Hz}$  -  $f_r=4\text{Hz}$  -  $s=0.20$ . Distribución por par de polos  $p=20$ .

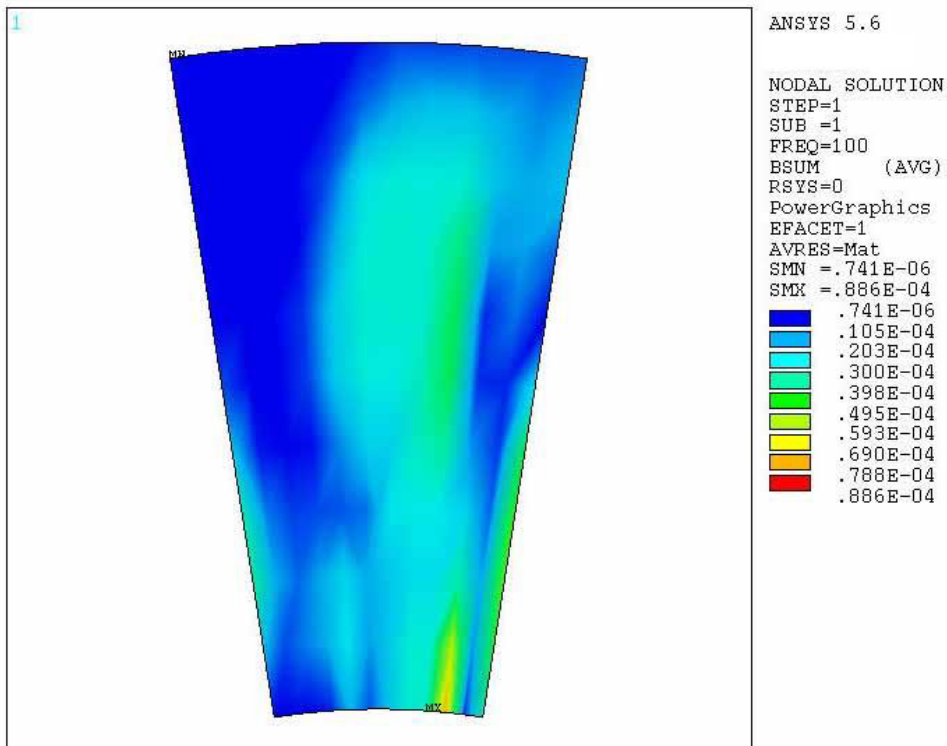


Figura 284. Componente imaginaria de la densidad de campo B.  
 $f_e=100\text{Hz}$  -  $f_r=4\text{Hz}$  -  $s=0.20$ . Distribución por par de polos  $p=20$ .

A.1.3.3.  $s=0.50$  -  $f_r=2.5\text{Hz}$ .

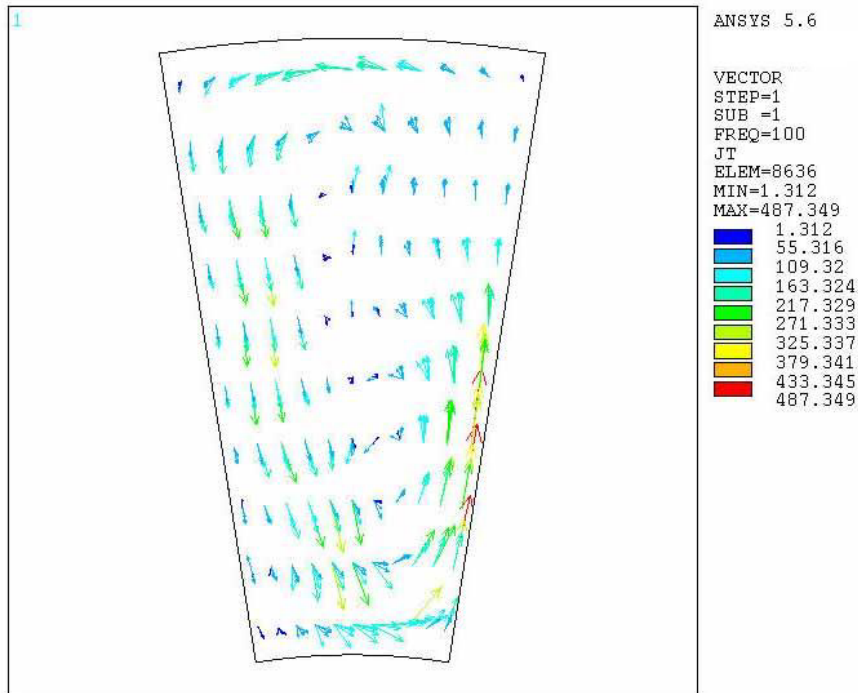


Figura 285. Componente real de la J del rotor.  $f_e=100\text{Hz}$  -  $f_r=2.5\text{Hz}$  -  $s=0.50$ . Distribución por par de polos  $p=20$ .

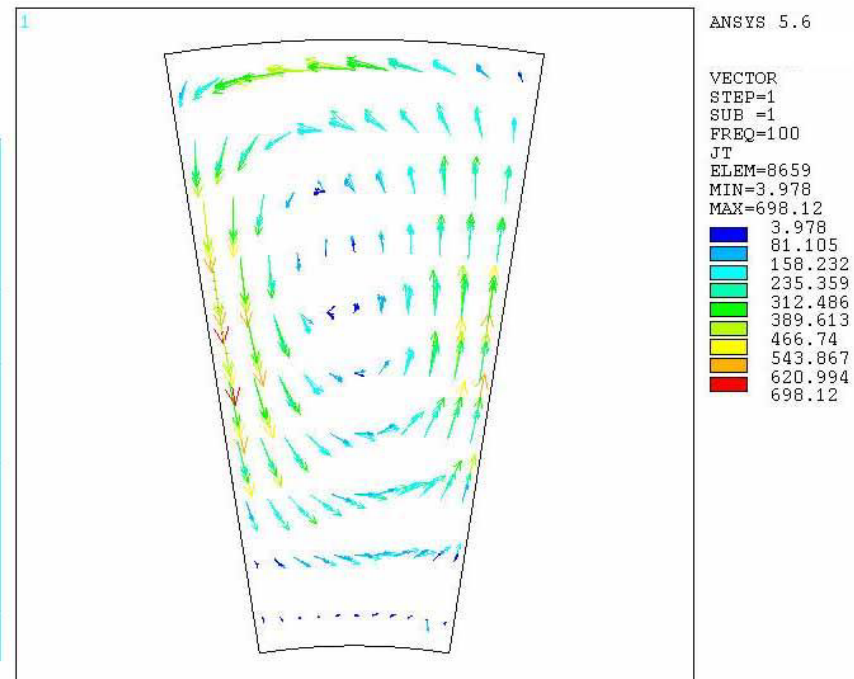


Figura 286. Componente imaginaria de la J del rotor.  $f_e=100\text{Hz}$  -  $f_r=2.5\text{Hz}$  -  $s=0.50$ . Distribución por par de polos  $p=20$ .